



پژوهشنامه مدیریت حوزه آبخیز سال هشتم / شماره ۱۶ / پاییز و زمستان ۱۳۹۶ ارزیابی تأثیر نرمال‌سازی توزیع احتمالاتی رواناب ماهانه بر عملکرد مدل‌های SVM و ANN در شبیه‌سازی جریان ماهانه رودخانه‌ها (مطالعه موردی: حوزه زرینه‌رود)

محمد عیسی‌زاده^۱, حجت احمدزاده^۲ و محمدعلی قربانی^۳

^۱- دانشجوی کارشناسی ارشد مهندسی منابع آب، دانشگاه تبریز، (نویسنده مسؤول: mohammadisazade@gmail.com)

^۲ و ^۳- دانشجوی دکتری و داشیار، گروه علوم و مهندسی آب، دانشگاه تبریز

تاریخ دریافت: ۹۴/۲/۱ تاریخ پذیرش: ۹۵/۲/۱۸

چکیده

تخمین دقیق مقدار رواناب رودخانه‌ها از اقدامات اساسی در مدیریت منابع آب حوزه‌ها می‌باشد. شبکه عصبی مصنوعی (ANN) و ماشین بردار پشتیبان (SVM) از مهم‌ترین مدل‌های داده‌کاوی هستند که می‌توانند برای این منظور مدنظر قرار گیرند. با توجه به مبتنی بودن این مدل‌ها به داده‌ها، نوع توزیع احتمالاتی داده‌ها می‌تواند تأثیر چشمگیری بر عملکرد آن را در شبیه‌سازی جریان داشته باشد. برای بررسی این موضوع حوزه زرینه‌رود به عنوان منطقه مورد مطالعه انتخاب شده و ارزیابی‌های موردنظر در سه ایستگاه آب‌سنگی واقع در آن صورت گرفت. در این راستا در ابتدا با استفاده از آزمون شاپیرو-ویلک تبعیت نمودن توزیع احتمالاتی اولیه از نرمال مورد بررسی قرار گرفته و سپس نرمال‌سازی توزیع داده‌ها انجام شد. در ادامه کارایی هر یک از مدل‌های ANN و SVM در شبیه‌سازی رواناب ماهانه سه ایستگاه آب سنگی برای داده‌های مشاهداتی و نرمال شده جریان مورد ارزیابی قرار گرفت. براساس نتایج این تحقیق مقادیر شاخص‌های ضریب همیستگی (CC) و جذر میانگین مربعات خطأ (RMSE) در دوره صحبت‌سنگی برای ایستگاه‌های صفاخانه، ستنه و پل آنیان در مدل ANN به ترتیب $0.593 \text{ (m}^3/\text{sec)}$, $0.71 \text{ (m}^3/\text{sec)}$, $0.82 \text{ (m}^3/\text{sec)}$, $0.80 \text{ (m}^3/\text{sec)}$, $0.58 \text{ (m}^3/\text{sec)}$, $0.80 \text{ (m}^3/\text{sec)}$ بودند آمد. در مدل SVM $0.2290 \text{ (m}^3/\text{sec)}$ بهترین نتایج نشان داد که در مدل ANN های مذکور به ترتیب مقادیر $0.70 \text{ (m}^3/\text{sec)}$, $0.77 \text{ (m}^3/\text{sec)}$, $0.78 \text{ (m}^3/\text{sec)}$, $0.79 \text{ (m}^3/\text{sec)}$, $0.74 \text{ (m}^3/\text{sec)}$, $0.77 \text{ (m}^3/\text{sec)}$ حاصل شد. نتایج نشان داد که در دوره صحبت‌سنگی به ترتیب 6.11 درصد افزایش و مقادیر RMSE را به ترتیب 1.9 و 1.6 درصد کاهش می‌دهد. در مدل SVM پس از نرمال‌سازی داده‌ها مقادیر CC و RMSE با ورودی‌های نرمال شده در هر سه ایستگاه آب‌سنگی عملکرد بهتری نسبت به مدل SVM دارد.

واژه‌های کلیدی: رواناب ماهانه، SVM، ANN، توزیع احتمالاتی نرمال، حوزه زرینه‌رود

ممکن است غیرخطی و نامشخص باشد. سپس با استفاده از این ارتباط منطقی، شبیه‌سازی‌ها برای موارد مشابه انجام می‌گیرد (۱۱). ماشین‌های بردار پشتیبان، سیستم‌های یادگیری خاصی هستند که از یک فضای فرضیه به نام فضای مشخصه، که شامل توابع خطی با بعد زیاد است، استفاده می‌کند. ماشین‌های بردار پشتیبان می‌توانند برای پیش‌بینی (دسته‌بندی و رگرسیون) مورد استفاده قرار گیرند. این سیستم‌ها توسط الگوریتم‌های یادگیری که بر اساس تئوری بهینه‌سازی استوار است، واسنجی می‌شوند (۱۲).

تاکنون تحقیقات زیادی در زمینه کارایی هر یک از مدل‌های مذکور و مقایسه عملکرد آن‌ها با دیگر مدل‌ها در شبیه‌سازی جریان رودخانه‌ها صورت گرفته است. هانگ و همکاران (۸) دقت مدل‌های ANN و ARMA در پیش‌بینی جریان رودخانه آپالاچیکولا در ایالات متحده را مورد مقایسه قرار دادند. نتایج تحقیق آنان حاکی از عملکرد بهتر شبکه عصبی پرسپترون چند لایه (MLP)^۱ با الگوریتم آموش پس انتشار خطأ نسبت به مدل ARMA می‌باشد. میسرا و همکاران (۱۴) عملکرد مدل‌های SVM و ANN در پیش‌بینی رواناب و بار رسوب حوزه آبریز و امساها را واقع در جنوب کشور هند را مورد مقایسه قرار دادند. نتایج نشان داد مدل SVM هم در پیش‌بینی رواناب و هم بار رسوب نسبت به ANN دارای عملکرد بهتری می‌باشد. در تحقیقی دیگر نوری و همکاران (۱۶) تأثیر انتخاب متغیرهای ورودی با استفاده از آنالیز مؤلفه اصلی بر عملکرد مدل SVM در پیش‌بینی دبی ماهانه رودخانه صوفی چای را مورد بررسی قرار دادند. همچنین لیو (۱۳) در مطالعه خود کارایی مدل‌های

مقدمه
انتخاب مدلی که بتواند جریان رودخانه را با دقت بالا و خطای کمتر شبیه‌سازی نماید کمک شایانی در مدیریت کارآمد طرح‌های منابع آبی دارد. استفاده از مدل‌های فیزیکی در حوزه‌هایی که در آن‌ها اطلاعات کافی از پارامترها و متغیرهای دخیل در جریان رودخانه در دسترس نباشد مقدور نمی‌باشد. مدل‌های داده‌کاوی از مهم‌ترین گزینه‌های مطرح جهت شبیه‌سازی رواناب در چین حوزه‌هایی هستند (۱۸). این مدل‌های متفاوتی به داده ساختار ریاضی مشخصی داشته و بدون اینکه فرآیند فیزیکی حاکم بر پدیده را شبیه‌سازی نمایند، توانایی تشخیص روابط پیچیده غیرخطی بین داده‌های ورودی و خروجی را دارا می‌باشند (۱۵). در مدل‌های داده‌کاوی بدلیل ماهیتی که دارند ساختار مدل، نوع و ترکیب داده‌های بکار گرفته شده در شبیه‌سازی تأثیر بسزایی در عملکرد آن‌ها دارند (۱۵). علاوه بر ترکیب داده‌های ورودی، توزیع احتمالاتی آنها از مهم‌ترین ویژگی‌هایی است که می‌توانند تأثیر چشمگیری در کارایی مدل‌های داده‌کاوی داشته باشند که در تحقیق حاضر به این موضوع مهم پرداخته شده است. شبکه عصبی مصنوعی (ANN)^۲ ماشین بردار پشتیبان (SVM) از مهم‌ترین مدل‌های داده‌کاوی هستند که در دهه‌های اخیر جهت تخمین جریان رودخانه‌ها مورد توجه محققین قرار گرفته‌اند. شبکه‌های عصبی مصنوعی می‌توانند یکی از روش‌های جعبه سیاه این قابلیت را دارند که به عنوان یکی از روش‌های سیاه این قابلیت را دارند که روابط منطقی بین پارامترهای ورودی و خروجی یک پدیده را بدست آورند. این مدل‌ها با تجزیه و تحلیل داده‌های ورودی و نتایج نظری آن‌ها ارتباط منطقی بین داده‌ها برقرار می‌کنند که

۲۳ تحقیق حاضر را رقم می‌زند. برای این منظور حوزه‌های خرخره‌چای، ساروق‌چای و جیغاتوچای به عنوان مناطق مورد مطالعه انتخاب گردیدند.

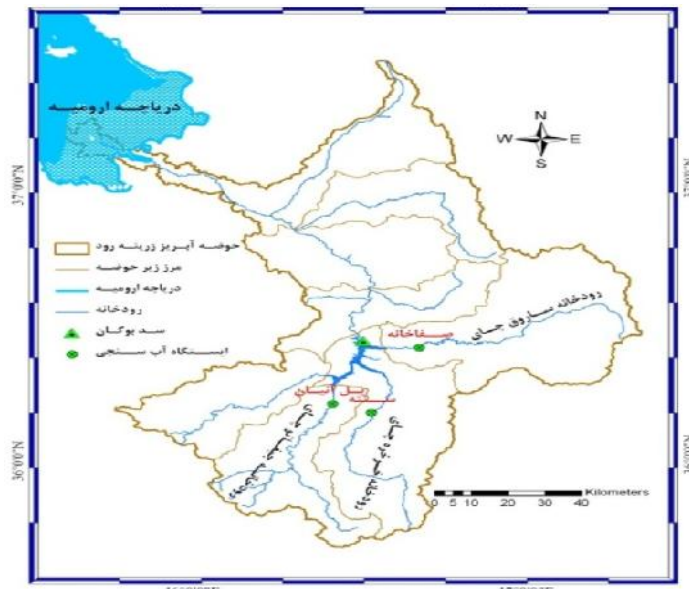
مواد و روش‌ها

داده‌ها و منطقه مورد مطالعه

در این تحقیق حوزه‌های خرخره‌چای، ساروق‌چای و جیغاتوچای که از زیرحوزه‌های اصلی حوزه زرینه‌رود محسوب می‌شوند، به عنوان محدوده مورد مطالعه انتخاب گردیدند. این حوزه‌ها در طول جغرافیایی^۱ ۴۵°۰' تا ۴۷°۲۰' شرقی و عرض جغرافیایی^۱ ۳۵°۴۱' تا ۳۶°۵۲' شمالی قرار دارد (شکل ۱). این سه حوزه سهم قابل توجهی در حجم آب ورودی به سد بوکان و در نتیجه تأمین نیازهای آبی پایین دست این سد دارد. ایستگاه‌های سنته، صفاخانه و پل آنیان که به ترتیب در حوزه‌های خرخره‌چای، ساروق‌چای و جیغاتوچای واقع شده‌اند از جمله ایستگاه‌های آب‌سنجدی هستند که از طول دوره آماری قابل قبول برخوردار می‌باشند. مساحت حوزه بالادست هر یک از ایستگاه‌های آب‌سنجدی مذکور به ترتیب بالغ بر ۱۲۳۲، ۲۲۰۹ و ۱۳۲۸ کیلومتر مربع می‌باشد. داده‌های مورد استفاده در این تحقیق شامل جریان ماهانه مشاهداتی در ایستگاه‌های آب‌سنجدی سنته، صفاخانه و پل آنیان می‌باشند که درصد داده‌های دوره آماری (۱۳۶۷-۱۳۸۴) به عنوان داده‌های واسنجی و ۲۵ درصد دیگر (۱۳۸۵-۱۳۹۰) به عنوان داده‌های صحبت‌سنجدی هر یک از مدل‌ها در نظر گرفته شده است.

رگرسیونی، ANN و ARIMA را در پیش‌بینی جریان روزانه رودخانه وايت‌کلی کریک نزدیک ایالت پنسیلوانیا مورد ارزیابی قرار داده و دقت آن‌ها را با یکدیگر مقایسه کردند. نتایج تحقیق آنان نشان داد زمانی که داده‌ها از توزیع نرمال تبعیت کرده و دارای طول دوره آماری کافی باشند، مدل‌های خطی کمترین خطای را در پیش‌بینی جریان رودخانه دارا می‌باشند. آداموفسکی (۱) مدل‌های SVM و ANN را برای شبیه‌سازی بارش-رواناب در یک حوزه کوهستانی با داده‌های محدود در یوتارانچال هندوستان به کار گرفت. نتایج بررسی وی نشان از توانایی مدل SVM با تابع کرنل پایه شعاعی(RBF)^۱ در پیش‌بینی رواناب مستقیم، جریان پایه و جریان کل این منطقه کوهستانی و پر از تپه داشت. در تحقیقی دیگر کاکائی لفدانی و همکاران (۹) سه مدل SVM نروفازی و مدل هیدرولوژیکی مفهومی Mike11/NA را جهت شبیه‌سازی جریان روزانه حوزه اسکندری به کار گرفتند. نتایج نشان داد که هر سه مدل دارای عملکرد مناسب در منطقه مورد مطالعه می‌باشند. درنهایت مدل SVM با تابع کرنل RBF بالاترین ضریب همبستگی و کمترین میانگین مربعات خطای را در شبیه‌سازی جریان نسبت به دو مدل دیگر از خود نشان داد.

همانطور که قبل این ذکر شد در مدل‌های داده‌کاوی علاوه بر ساختار بکار گرفته شده برای مدل‌ها، ترکیب و خصوصیات آماری داده‌های ورودی به این مدل‌ها تأثیر بسیاری در عملکرد آن‌ها دارد، توزیع احتمالاتی داده‌ها از مهم‌ترین آن‌ها می‌باشد. لذا ارزیابی تأثیر نرمال‌سازی توزیع احتمالاتی داده‌های ورودی بر عملکرد مدل‌های ANN و SVM هدف



شکل ۱- موقعیت حوزه زرینه‌رود و ایستگاه‌های آب‌سنجدی سنته، صفاخانه و پل آنیان
Figure 1. Location of Zarrinehrood basin and Sanneh, Safakhaneh and Polanian hydrometric stations

$$W_{ij} = P_{ij} - \bar{Q}_j \quad (8)$$

$$K_{ij} = \frac{W_{ij}}{SD_W} \quad (9)$$

$$i = 1:n, j = 1:12$$

در این روابط n تعداد سال‌ها، Q_{ij} میزان جریان مشاهداتی در ماه زام از سال آم، \bar{Q}_j میانگین دراز مدت جریان در ماه زام، SD_W انحراف معیار متغیر W_{ij} و K_{ij} جریان نرمال شده در ماه زام از سال آم می‌باشند. بعد از اعمال روابط فوق بر روی داده‌های اولیه غیرنرمال ایستگاه‌ها، شاخص‌های آماری میانگین، مقدار حداقل، مقدار حداکثر، انحراف معیار و چوگانی برای هر یک از ایستگاه‌ها محاسبه شده و سپس آزمون شاپیرو-ویلک در سطح معنی‌داری 0.05 جهت بررسی نرمال بودن داده‌ها انجام گرفت.

ماشین بردار پشتیبان (SVM)

اولین کاربرد این روش در مسائل آب توسط دیباک و همکاران (۶) با شبیه‌سازی بارش-رواناب ارائه شد. ماشین بردار پشتیبان یک سیستم یادگیری کار آمد بر مبنای تئوری بهینه‌سازی مقید است که از اصل استقرای کمینه‌سازی خطای ساختاری استفاده کرده و منجر به یک جواب بهینه کلی می‌گردد. شکل (۲) ساختار ماشین بردار پشتیبان را نشان می‌دهد.

نرمال‌سازی توزیع احتمالاتی داده‌ها

پس از انجام آزمون شاپیرو-ویلک بر روی داده‌های مشاهداتی، چنانچه داده‌ها از توزیع نرمال تبعیت نکنند، می‌توان با بکارگیری روابط مختلف توزیع احتمالاتی آنها را به نرمال تبدیل نمود. از معادلات مختلفی جهت نرمال‌سازی داده‌ها استفاده می‌شود که لگاریتم‌گیری و جذر گرفتن از جمله مهم‌ترین آن‌ها می‌باشند (۱۷). لازم به ذکر است که معادلات بکار گرفته شده برای هر سری از داده می‌تواند متفاوت از سری‌های دیگر باشد (۱۷). در این تحقیق از روابط ۱ تا ۳، ۴ تا ۶ و ۷ تا ۹ به ترتیب جهت نرمال‌سازی توزیع احتمالاتی داده‌های رواناب ماهانه ایستگاه‌های سنته، صفاخانه و پل آستان استفاده گردیده است.

$$P_{ij} = \ln(Q_{ij} + 0.052) \quad (1)$$

$$W_{ij} = P_{ij} - \bar{Q}_j \quad (2)$$

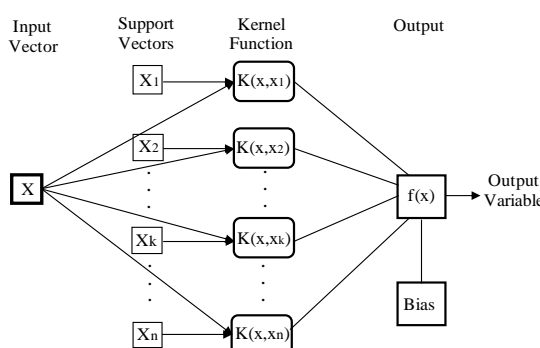
$$K_{ij} = \frac{W_{ij}}{SD_W} \quad (3)$$

$$P_{ij} = \ln(Q_{ij} + 0.5) \quad (4)$$

$$W_{ij} = P_{ij} - \bar{Q}_j \quad (5)$$

$$K_{ij} = \frac{W_{ij}^{0/3}}{SD_W} \quad (6)$$

$$P_{ij} = \ln(Q_{ij} + 0.115) \quad (7)$$



شکل ۲- ساختار ماشین بردار پشتیبان (۲۰)
Figure 2. Support Vector Machine structure (20)

$$W^T \cdot \phi(x_i) + b - y_i \leq \varepsilon + \varepsilon_i^* \quad (12)$$

$$\frac{1}{2} W^T W + C \sum_{i=1}^N \varepsilon_i + C \sum_{i=1}^N \varepsilon_i^* y_i \quad (13)$$

$$-W^T \cdot \phi(x_i) - b \leq \varepsilon + \varepsilon_i$$

$$\varepsilon_i, \varepsilon_i^* \geq 0, i = 1, 2, \dots, N$$

در معادلات بالا C عددی صحیح و مثبت است، که عامل تعیین جریمه در هنگام رخ دادن خطای واسنجی مدل می‌باشد، ϕ تابع کرنل، N تعداد نمونه‌ها و دو مشخصه ε و ε_i^* متفاوتانه کمیود هستند.

در نهایت تابع SVM رگرسیونی را می‌توان به فرم زیر بازنویسی کرد:

$$f(x) = \sum_{i=1}^N \alpha_i \cdot \phi(x_i)^T \cdot \phi(x) + b \quad (14)$$

در مدل رگرسیون SVM تابعی مرتبط با متغیر وابسته y که خود تابعی از چند متغیر مستقل x است، برآورد می‌شود. مشابه سایر مسائل رگرسیونی فرض می‌شود رابطه میان متغیرهای مستقل و وابسته با تابع جبری مانند $f(x)$ به علاوه مقادار اغتشاش (خطای مجاز) ε مشخص شود.

$$f(x) = W^T \cdot \phi(x) + b \quad (10)$$

$$y = f(x) + noise \quad (11)$$

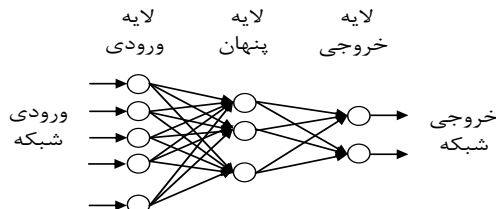
چنانچه W بردار ضرایب و b ثابت مشخصه‌های تابع رگرسیونی و ε نیز تابع کرنل باشد، آنگاه هدف پیدا کردن SVM تابعی برای $f(x)$ است. این مهم با واسنجی مدل توسط مجموعه‌ای از نمونه‌ها (مجموعه واسنجی) محقق می‌شود. برای محاسبه W و b لازم است تابع خطا (معادله ۱۲) در مدل SVM رگرسیونی با در نظر گرفتن شرایط مندرج (قيود) در معادله (۱۳) بهینه شود.

- سیگنال‌ها بین گره‌ها از طریق اتصالات^۱ منتقل می‌شود.
- هر اتصال وزنی دارد که نشان‌دهنده نیروی اتصال آن است.

- هر گره مجموعه وزنی سیگنال‌ها را با به کار بردن یک تبدیل غیرخطی که تابع محرك^۲ نامیده می‌شود به سیگنال خروجی تبدیل می‌کند (۲۱،۳).

می‌توان گفت که حدود ۹۰٪ از مدل‌های شبکه عصبی که در مسائل هیدرولوژی بکار گرفته شده‌اند از نوع شبکه‌های عصبی پیشرو^۳ هستند (۵) که مدل MLP با الگوریتم آموزش لونبرگ-مارکوارت (LM)^۴ از مهم‌ترین آنها بشمار می‌رود. معماری معمول این شبکه مشکل از سه بخش لایه ورودی، پنهانی و خروجی می‌باشد. تعداد نرون‌های موجود در لایه ورودی و خروجی بستگی به نوع مسئله دارد ولی تعداد گره‌های لایه پنهان با سعی خطا بدست می‌آید.

در شبکه‌های پیشرو، اتصالات میان گره‌هایی وجود دارد که در لایه‌های متفاوت قرار دارند. همچنین ورودی‌ها در لایه ورودی شبکه نمایش داده شده و عمل تحریک از ورودی به سمت خروجی شبکه شروع می‌شود (۳). شماتیک کلی آن در شکل (۳) آمده است.



شکل ۳- ساختار کلی شبکه عصبی مصنوعی (۲)
Figure 3. Artificial Neural Network general structure (2)

میانگین مربعات خطأ (RMSE)^۵ و معیار نش- ساتکلیف (NS)^۶ می‌باشدند که در این تحقیق نیز از این معیارها برای بررسی کارایی هر یک از مدل‌ها استفاده شده است.

نتایج و بحث نرمال‌سازی داده‌ها

بعد از نرمال‌سازی داده‌ها، شاخص‌های آماری میانگین، حداقل و حداکثر جریان ماهانه، انحراف معیار و چوگانی محاسبه گردیده و سپس آزمون شاپیرو-ویلک در سطح اطمینان ۹۵٪ بر روی داده‌های مشاهداتی اولیه و نرمال شده انجام گرفت که نتایج آنها در جدول ۱ اورده شده است. لازم به ذکر است چنانچه طی آزمون شاپیرو-ویلک سطح معنی‌داری بیشتر از ۰/۰۵ بدست آید داده‌ها با سطح اطمینان ۹۵٪ از توزیع نرمال تعیین می‌کنند. بر این اساس از نتایج آمده در جدول ۱ می‌توان دریافت که توزیع احتمالاتی جریان ماهانه هر یک از سه ایستگاه آب‌سنگی در ابتدا نرمال نبوده ولی پس از اعمال معادلات ۱ تا ۹ توزیع آنها به نرمال تبدیل گردیده است. به عنوان نمونه شکل ۴

در معادله (۱۴)، α_i میانگین ضرایب لاگرانژ می‌باشد. محاسبه (x) φ در فضای مشخصه آن ممکن است بسیار پیچیده باشد. برای حل این مشکل روند معمول در مدل SVM رگرسیونی انتخاب یک تابع کرنل است. ماشین بردار پشتیبان معمولاً با سه تابع کرنل RBF، چند جمله‌ای درجه d و خطی مورد استفاده قرار می‌گیرد که روابط مورد استفاده در هر کدام از آن‌ها به ترتیب در زیر آورده شده است (۷،۱۰).

$$k(x, x_i) = \exp\left(-\|x - x_i\|^2 / \sigma^2\right) \quad (15)$$

$$k(x, x_i) = (t + \langle x, x_i \rangle)^d \quad (16)$$

$$k(x, x_i) = x \cdot x_i \quad (17)$$

لازم بذکر است فرآیند محاسبات ماشین بردار پشتیبان، بر اساس کدنویسی در محیط متلب انجام شده و پارامترهای توابع کرنل از طریق سعی و خطا بهینه گردیدند.

شبکه عصبی مصنوعی با آموزش لونبرگ-مارکوارت ANN یک سیستم پردازشگر توزیعی اطلاعات است که خصوصیات عملکرد آن شبیه به ساختار عصبی مغز انسان بوده و گسترش آن بر اساس قواعد زیر است.

- پردازش اطلاعات در عناصر منفردی به نام گره انجام و این گره‌ها در دسته‌هایی به نام لایه مرتب می‌شوند.

لازم به ذکر است که در تحقیق حاضر از تعداد نرون‌های ۱ تا ۲۰ برای لایه پنهان شبکه استفاده گردید تا از این طریق بتوان تاثیر ساختار مختلف شبکه بر عملکرد آن در شبیه‌سازی رواناب را مورد ارزیابی قرار دهد. از آنجا که متدالول ترین نوع توابع محرك تابع تائزانت سیگموئید می‌باشد لذا در این مطالعه از آن برای نگاشت اطلاعات از لایه ورودی به لایه پنهان و از تابع محرك خطی برای نگاشت اطلاعات از لایه پنهان به لایه خروجی استفاده شد.

تعیین زمان تاخیر و معیارهای ارزیابی
توابع ACF^۵ و PACF^۶ از جمله معیارهای مطرح در تعیین تعداد ورودی‌های موثر در شبیه‌سازی متغیر مورد نظر می‌باشند (۱۹،۱۲). در تحقیق حاضر نیز از این توابع جهت تعیین تعداد تاخیرهای جریان ماهانه لازم که باید در ارزیابی کارایی مدل‌های شبکه عصبی مصنوعی و ماشین بردار پشتیبان مورد بررسی قرار گیرند استفاده گردید. با استفاده از روش‌های مختلفی می‌توان عملکرد مدل‌ها را مورد ارزیابی و مقایسه قرار داد، یکی از این روش‌ها استفاده از معیارهای ارزیابی می‌باشد، از جمله معیارهای ارزیابی پر کاربرد در هیدرولوژی، ضرایب همبستگی (CC)^۷، ریشه

1- Links

2- Activation Function

3- Feed forward neural networks

4- Levenberg-Marquardt

5- Auto Correlation Function

6- Partial Auto Correlation Function

7- Correlation Coefficient

8- Root Mean Square Error

9- Nash -Sutcliffe

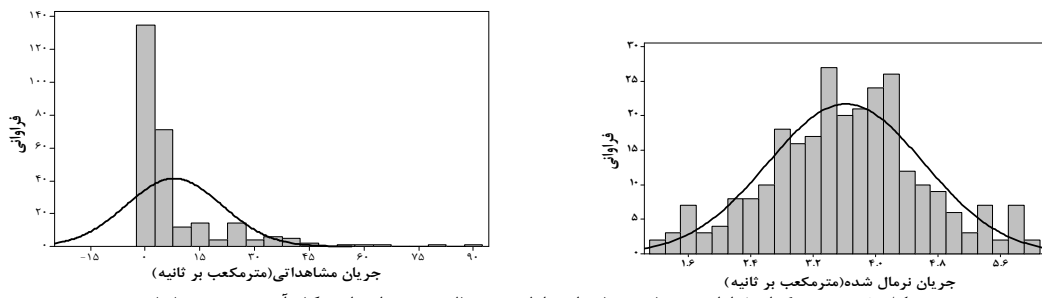
ایستگاه آب سنجی صفاخانه نشان می دهد.

هیستوگرام فراوانی داده های اولیه و نرمال شده را برای

جدول ۱- پارامترهای آماری داده های ماهانه جریان رودخانهها

Table 1. Statistical parameters of monthly river flow data

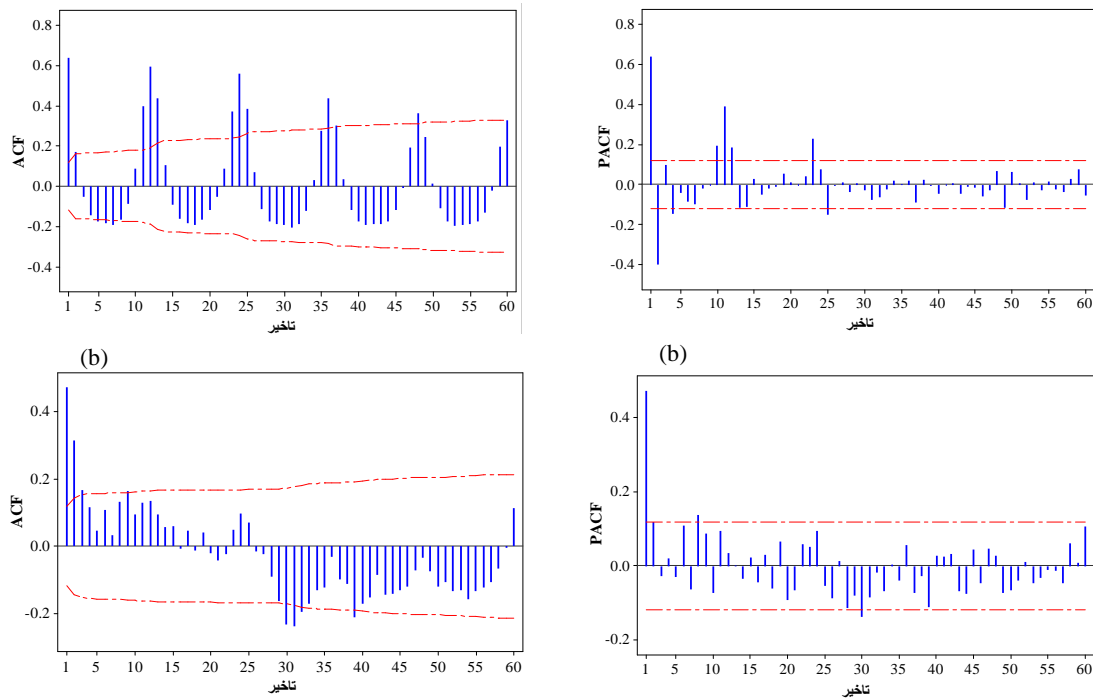
نام جهت معنی داری	آمده	داده های مشاهداتی نرمال شده				داده های مشاهداتی				داده	ایستگاه
		شایپرو-ویلک	بردن دقیق	بردن نگران	بردن معابر	بردن متوجه	بردن دقیق	بردن نگران	بردن معابر		
-۰/۲۱	-۰/۰۴	۱/۲۱	۶/۰۷	-۰/۰۲	۰/۰۱	۳/۶۲	-۰/۰۰	۸۸/۱۳	۲/۹۲	۱۳/۱۳	۷/۸۵
-۰/۴۳	-۰/۰۳	۱/۲۱	۶/۰۷	-۰/۰۴	۰/۳۱	۳/۶۵	-۰/۰۰	۸۸/۱۳	۲/۷۶	۱۴/۳۰	۸/۶۴
-۰/۰۶	-۰/۱۰	۱/۲۱	۵/۷۲	-۰/۰۴۳	۰/۸۸	۳/۵۰	-۰/۰۰	۳۵/۰۷	۲/۱۸	۸/۲۱	۵/۴۲
-۰/۲۶	-۰/۰۴	-۲/۸۶	۲/۸۷	-۰/۰۰	۰/۰۱	۰/۰۰	-۰/۰۰	۸۹/۴۳	۲/۶۲	۱۳/۸۳	۸/۳۹
-۰/۲۸	-۰/۰۵	-۲/۸۶	۲/۸۷	-۰/۰۰۵	۱/۰۱	۰/۰۶	-۰/۰۰	۸۹/۴۳	۲/۵۵	۱۴/۶۵	۸/۸۹
-۰/۷۱	-۰/۰۵	-۲/۸۶	۲/۴۶	-۰/۱۰	۰/۹۴	-۰/۱۹	-۰/۰۰	۵۶/۹۰	۲/۶۰	۱۰/۹۲	۶/۸۵
-۰/۷۷	-۰/۰۳	-۲۲/۳۱	۲۸/۰۶	-۰/۱۱	۸/۹۱	۰/۰۰	-۰/۰۰	۲۱۳/۱۶	۳/۰۲	۳/۰۵	۱۷/۷۲
-۰/۹۸	-۰/۰۳	-۲۲/۳۱	۲۵/۸۳	-۰/۰۴	۸/۸۴	۰/۷۰	-۰/۰۰	۱۵۰/۶۷	۲/۵۱	۲۶/۸۲	۱۶/۸۱
-۰/۱۵	-۰/۰۸	-۲۲/۳۱	۲۸/۰۶	-۰/۶۰	۸/۸۴	-۲/۱۵	-۰/۰۰	۲۱۳/۱۶	۳/۱۷	۳۹/۸۹	۲۰/۴۹



شکل ۴- هیستوگرام فراوانی جریان مشاهداتی اولیه و نرمال شده برای ایستگاه آب سنجی صفاخانه
Figure 4. Frequency histogram of the initial and normalized observation flow for the Safakhaneh hydrometric station

می آید.تابع PACF که از حل پی در پی معادلات یول-واکر به ازای تأخیرهای مختلف بدست می آید، جهت بررسی همبستگی بین سری زمانی داده های مشاهداتی یک متغیر (x_t) و سری تأخیر یافته آن (x_{t+k}) با حذف وابستگی خطی مشترک بین متغیرهای ($x_{t+1}, x_{t+2}, \dots, x_{t+k-1}$) بکار می رود (۱۷). به عنوان نمونه در شکل ۵ نمودار تابع های PACF و ACF مربوط به داده های جریان ماهانه مشاهداتی و نرمال شده ایستگاه آب سنجی صفاخانه نشان داده شده است.

تعیین تعداد ورودی مدل ها
توابع خودهمبستگی (ACF) و خودهمبستگی جزئی (PACF) از جمله معیارهای مطرح در تعیین تعداد ورودی های موثر در شبیه سازی خودهمبسته متغیر مورد نظر می باشند. همچنین با استفاده از رفتار توابع مذکور می توان خواص ایستایی و فصلی بودن داده ها را مورد بررسی قرار داد (۲). ACF در واقع همان ضریب همبستگی بین سری زمانی داده های مشاهداتی یک متغیر با تأخیرهای مختلف آن می باشد. چنانچه تابع ACF بر حسب زمان تأخیر در یک دستگاه مختصات رسم گردد نمودار همبستگی نگار بدست



شکل ۵- نمودار توابع ACF و PACF جریان ماهانه مشاهداتی (a) و نرمال شده (b) در ایستگاه آب‌سنگی صفاخانه
Figure 5. diagrams of the ACF and PACF functions of the monthly observation flow (a) and normalized flow (b) at the Safakhaneh hydrometric station

شبیه‌سازی رواناب با مدل SVM
در تحقیق حاضر از توابع کرنل چند جمله‌ای، پایه شعاعی و خطی جهت شبیه‌سازی جریان استفاده گردید و مقادیر بهینه پارامترهای مورد نیاز مدل SVM از طریق سعی و خطا برای هر کدام از توابع مذکور برای هر دو حالت جریان غیرنرمال و نرمال و به ازای ۱ تا ۱۵ ورودی بدست آمد. در نهایت عملکرد هر یک از سه تابع کرنل به ازای هر کدام از تعداد ورودی‌های مذکور توسط شاخص‌های آماری مورد ارزیابی قرار گرفت. در جدول ۲ بهترین مدل از بین ۴۵ مدل ارزیابی شده برای هر ایستگاه آب‌سنگی، به همراه نوع تابع کرنل مربوط به آن نشان داده شده است. مطابق با این جدول مدل SVM به ازای ۱۳ و ۱۱ جریان ورودی مشاهداتی و تابع کرنل چند جمله‌ای درجه ۴ به ترتیب در ایستگاه‌های صفاخانه و سنته و همچنین به ازای ۳ متغیر ورودی جریان مشاهداتی و تابع کرنل پایه شعاعی در ایستگاه پل آنیان. نتایج بهتری را نسبت به ۴۵ مدل دیگر ارزیابی شده در هر ایستگاه بدست آورده است.

مطابق با نمودار PACF، جریان مشاهداتی ۱۲، ۱۱، ۲، ۱ و ۱۳ ماه قبل، موثرترین جریان‌ها در برآورد جریان ماهانه مشاهداتی هر ماه می‌باشد و همچنین نمودار PACF جریان نرمال شده نشان می‌دهد که اولین جریان تاخیر یافته (درجه تاخیر برابر با یک) بیشترین تاثیر را در برآورد جریان ماهانه نرمال شده دارد. تغییرات نمودار ACF جریان مشاهداتی اولیه به علت دوره‌ای بودن جریان، در سال‌های مختلف مشابه به یکدیگر بوده و این نمودار حالت کسینوسی به خود گرفته است. ولی نمودار ACF مربوط به جریان نرمال شده به علت حذف روند میانگین و واریانس و همچنین حذف دوره‌ای بودن جریان‌ها بر اساس فرمول‌های ۴ تا ۶ حالت دوره‌ای نداشته و فقط مقادیر همیستگی تاخیرهای ۱ تا ۱۵ ماهه جریان خارج از باند استقلال قرار گرفته‌اند. بنابراین جهت بررسی دقت تابع‌های ACF و PACF و همچنین یکسان‌سازی تعداد و ترکیب ورودی مدل‌ها در حالت جریان مشاهداتی و نرمال شده؛ تعداد تاخیرهای لازم جهت شبیه‌سازی جریان برابر با ۱۵ ماه در نظر گرفته شد.

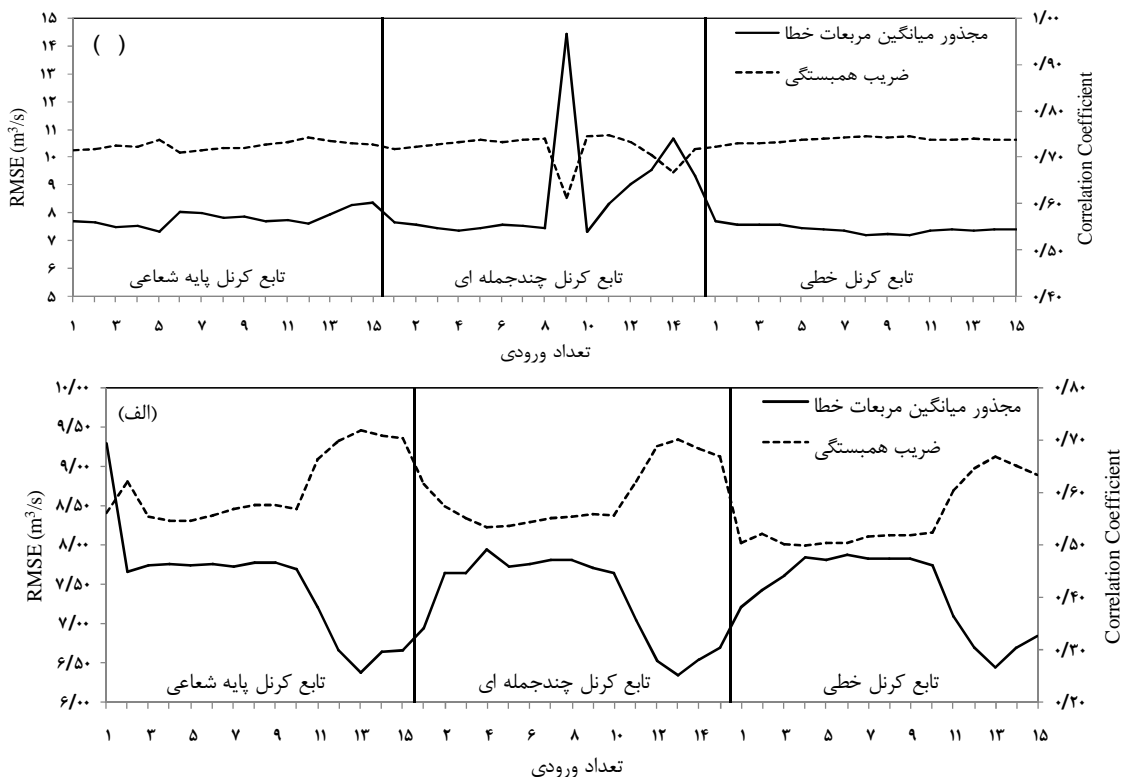
جدول ۲- عملکرد مدل SVM در تخمین جریان ایستگاه های آب سنگی به ازای جریان مشاهداتی و نرمال شده

Table 2. Performance of the SVM model in estimation of hydrometrics stations flow for the observation and normalized flow

دوره صحبت سنگی				دوره واسنجی				بهترینتابع کرنل	ایستگاه	نوع داده ها
NS	RMSE (m ³ /s)	CC	NS	RMSE (m ³ /s)	CC	تعداد ورودی				
۰/۳۹	۶/۲۴	۰/۷۰	۰/۵۹	۸/۱۰	۰/۸۳	۱۳	چند جمله ای	صفاخانه	صفاخانه	۶
۰/۸۸	۷/۰۲	۰/۷۸	۰/۶۴	۸/۹۶	۰/۸۰	۱۱	چند جمله ای	سنته	سنته	۷
۰/۶۲	۲۴/۳۱	۰/۷۹	۰/۵۹	۱۷/۲۴	۰/۷۷	۳	پایه ساعی	پل آنیان	پل آنیان	۷
۰/۴۴	۷/۲۱	۰/۷۵	۰/۰۶	۱۰/۱۰	۰/۷۲	۱۰	خطی	صفاخانه	صفاخانه	۷
۰/۷۳	۵/۸۸	۰/۸۶	۰/۵۱	۸/۸۲	۰/۸۱	۱۴	چند جمله ای	سنته	سنته	۷
۰/۱۳	۲۵/۵۳	۰/۷۸	۰/۵۹	۱۶/۳۴	۰/۸۱	۷	پایه ساعی	پل آنیان	پل آنیان	۷

گردیده است. به عنوان نمونه در شکل ۶ برای ایستگاه صفاخانه تغییرات مقادیر CC و RMSE به ازای سه تابع کرنل در دوره صحبت سنگی نشان داده شده است. است RMSE در اکثر موارد به ترتیب روند صعودی و نزولی داشته نرمال شده و سه تابع کرنل برای ایستگاه صفاخانه نشان می دهد. با توجه به این شکل در توابع کرنل پایه ساعی و خطی تغییرات CC و RMSE به ازای افزایش ورودی بسیار انک بوده است که نشان دهنده حساسیت کمتر این مدل ها به تعداد ورودی های جریان نرمال شده می باشد.

با توجه به نتایج جدول ۲ مدل SVM به ازای ۱۰ و ۷ جریان ورودی نرمال شده به ترتیب در ایستگاه های آب سنگی صفاخانه، سنته و پل آنیان نتایج بهتری را نسبت ۴۵ مدل با ورودی نرمال بررسی شده در هر ایستگاه آب سنگی بدست آورده است. نتایج نشان داد که مدل SVM در شبیه سازی جریان ایستگاه صفاخانه و پل آنیان با داده های واقعی عملکرد بهتری را نسبت به شبیه سازی جریان با داده های دارای توزیع نرمال داشته است و استفاده از داده های نرمال شده فقط در ایستگاه سنته باعث بهبود نتایج شبیه سازی



شکل ۶- روند تغییرات CC و RMSE مربوط به شبیه سازی جریان با استفاده از مدل SVM در دوره صحبت سنگی به ازای داده های ورودی جریان مشاهداتی (الف) و نرمال شده (ب) در ایستگاه صفاخانه

Figure 6. The trend of CC and RMSE variations in flow simulation using the SVM model during the verification period for the input data of observation flow (A) and normalized flow (B) at the Safahaneh station

در نظر گرفته شد. شبکه بکار گرفته شده دارای یک لایه پنهان بوده که در آن تعداد نرون‌ها از ۱ تا ۲۰ تغییر می‌یابد. در جدول ۳ بهترین مدل از بین ۳۰۰ مدل ارزیابی شده برای هر ایستگاه، به همراه بهترین تعداد نرون آنها نشان داده شده است.

شبیه‌سازی جریان با مدل ANN

در این مطالعه از شبکه عصبی پرسپترون چند لایه (MLP) جهت مدل سازی جریان ماهانه استفاده گردید. جهت تعیین مدل شبیه‌ساز مطلوب، جریان مشاهداتی و نرمال شده با تأخیرهای ۱ تا ۱۵ به عنوان ورودی شبکه عصبی مصنوعی

جدول ۳- عملکرد مدل MLP در تخمین جریان ایستگاه‌های سنته، صفاخانه و پل آنیان به ازای جریان مشاهداتی و نرمال شده
Table 3. Performance of the MLP model in estimation of the Santeh, Safakhaneh and Polanian stations flow using the observation and normalized flow

دوره صحبت سنتی						دوره واسنجی					
NS	RMSE (m³/s)	CC	NS	RMSE (m³/s)	CC	بهترین تعداد نرون	بهترین تعداد ورودی	ایستگاه آب‌سنگی	نوع داده ورودی		
۰/۴۷	۵/۹۳	۰/۷۱	۰/۶۳	۸/۹۰	۰/۸۰	۴	۱۲	صفاخانه	صفاخانه	۰/۷۶	۰/۷۶
۰/۶۳	۶/۵۸	۰/۸۰	۰/۶۴	۸/۸۴	۰/۸۰	۱۱	۱۱	سنته	سنته	۰/۷۳	۰/۷۳
۰/۶۷	۲۲/۹۰	۰/۸۲	۰/۶۰	۱۷/۰۶	۰/۷۸	۶	۳	پل آنیان	پل آنیان	۰/۷۷	۰/۷۷
۰/۶۰	۵/۵۵	۰/۸۱	-۰/۲۷	۱۰/۲۳	۰/۷۳	۱۹	۶	صفاخانه	صفاخانه	۰/۷۴	۰/۷۴
۰/۷۹	۵/۳۲	۰/۸۹	۰/۵۳	۸/۸۴	۰/۸۱	۶	۶	سنته	سنته	۰/۷۴	۰/۷۴
۰/۴۸	۲۰/۹۳	۰/۸۷	۰/۷۰	۱۳/۴۲	۰/۸۷	۱۴	۱۴	پل آنیان	پل آنیان		

را در تخمین جریان دارا می‌باشد. نتایج شبیه‌سازی جریان با مدل MLP و داده‌های نرمال شده نشان داد که استفاده از این نوع داده‌ها می‌تواند نقش بسزایی در افزایش CC و کاهش RMSE در کلیه ایستگاه‌های آب‌سنگی داشته باشد(جدول ۳ و ۴). در جدول ۴ مقایر افزایش CC و کاهش RMSE در شبیه‌سازی جریان با استفاده از داده‌های نرمال شده نسبت به مشاهداتی برای ایستگاه‌های آب‌سنگی مورد مطالعه نشان داده شده است.

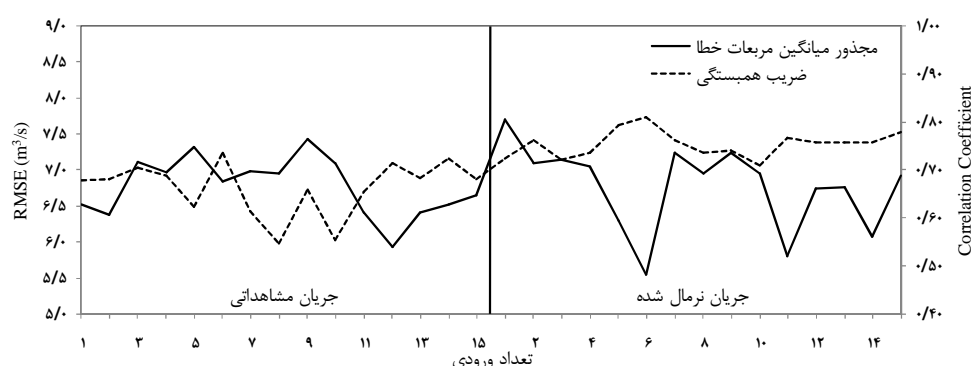
مطابق با جدول ۳ در ایستگاه صفاخانه برای جریان مشاهداتی مدل MLP با ۱۲ متغیر ورودی و ۴ نرون در لایه پنهان ((MLP(۴،۱۲)) با مقادیر شاخص‌های CC و RMSE به ترتیب برابر با ۰/۷۱ و ۵/۹۳ مترمکعب بر ثانیه در دوره MLP صحبت‌سنگی عملکرد بهتری نسبت به سایر مدل‌های دارد. برای جریان نرمال شده، مدل MLP با ۶ متغیر ورودی و ۱۹ نرون ((N1۹,۶)) با مقادیر شاخص‌های CC و RMSE به ترتیب برابر با ۰/۸۱ و ۵/۵۵ مترمکعب بر ثانیه در دوره صحبت‌سنگی نسبت به سایر مدل‌های MLP بهترین کارایی

جدول ۴- مقدار کاهش RMSE و افزایش CC به ازای جریان نرمال شده در شبیه‌سازی جریان دوره صحبت‌سنگی
Table 4. The amount of RMSE reduction and CC increase per normalized flow in the simulation flow of verification period

ایستگاه آب‌سنگی			شاخص آماری	
پل آنیان	سنته	صفاخانه	RMSE	CC
۰/۰۹	۰/۱۹	۰/۰۶		
۰/۰۶	۰/۱۱	۰/۱۴		

برای دو حالت داده‌های مشاهداتی و نرمال شده در دوره صحبت‌سنگی آورده شده است.

همچنین به عنوان نمونه در شکل ۷ عملکرد ۱۵ مدل MLP بکار گرفته شده جهت شبیه‌سازی جریان ماهانه ایستگاه صفاخانه به ازای بهترین تعداد نرون در لایه پنهان



شکل ۷- روند تغییرات CC و RMSE در دوره صحبت‌سنگی به ازای ورودی‌های مختلف جریان مشاهداتی و نرمال شده
Figure 7. The trend of CC and RMSE variations in during the verification period for the various inputs of observation and normalized flow

می باشند. در جدول ۵ خلاصه ای از عملکرد بهترین مدل های بکار رفته در هر ایستگاه آورده شده است. همچنین در شکل ۸ سری زمانی جریان ماهانه مشاهداتی و شبیه سازی شده توسط مدل های منتخب برای هر یک از ایستگاه های آب سنگی در دوره صحبت سنگی نشان شده است.

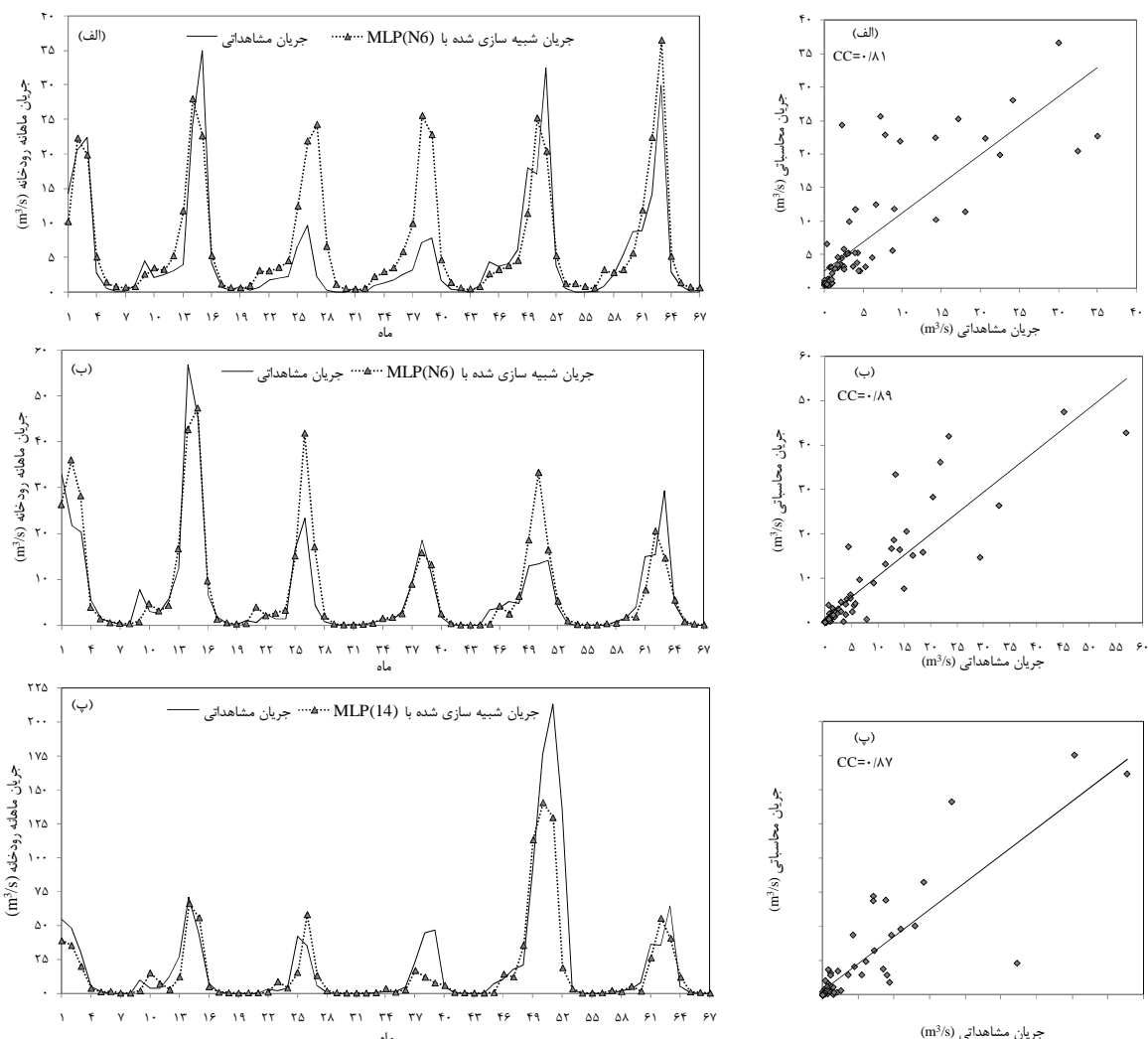
مقایسه عملکرد مدل های ANN و SVM

براساس نتایج بخش های قبل مدل های MLP(N6) و MLP(N14) نسبت به سایر مدل های ارزیابی شده MLP و SVM کم خطا ترین شبیه سازی جریان را به ترتیب در ایستگاه های صفاخانه، سنته و پل آنیان دارا

جدول ۵- خلاصه عملکرد بهترین مدل شبیه سازی جریان در ایستگاه های آب سنگی مورد مطالعه

Table 5. Summary of performance of the best flow simulation model at the studied hydrometric stations

دوره صحبت سنگی			دوره واسنجی			مدل	نوع داده های ورودی	ایستگاه	رویدخانه
NS	RMSE (m³/s)	CC	NS	RMSE (m³/s)	CC				
۰/۶۰	۵/۵۵	۰/۸۱	۰/۰/۲۷	۱۰/۲۳	۰/۷۳	MLP(N6)	جریان نرمال شده	صفاخانه	ساروق چای
۰/۹	۵/۳۲	۰/۸۹	۰/۰/۵۳	۸/۸۴	۰/۸۱	MLP(N6)	جریان نرمال شده	سنته	خرخه چای
۰/۴۸	۲۰/۹۳	۰/۰/۷	۰/۰/۷۰	۱۳/۴۲	۰/۰/۷	MLP(N14)	جریان نرمال شده	پل آنیان	چیغاتو چای



شکل ۸- جریان مشاهداتی و شبیه سازی شده مدل های منتخب در ایستگاه های صفاخانه (الف)، سنته (ب) و پل آنیان (پ)
Figure 8. Observation and simulated flow of selected models at the Safakhaneh (a), Santeh (b) and Polanian (c) stations

MLP(N6) و MLP(N14) نیز جهت پیش‌بینی جریان ایستگاه‌های آب‌سنجدی صفاخانه، سنته و پل آنیان به ازای داده‌های ورودی نرمال شده انتخاب گشتند؛ البته استفاده از داده‌های نرمال شده در کلیه ایستگاه‌های آب‌سنجدی باعث افزایش CC و کاهش RMSE گردیده است که درصد این افزایش و کاهش در ایستگاه‌های آب‌سنجدی صفاخانه، سنته و پل آنیان به ترتیب برابر با $0/14$ ، $0/06$ ، $0/11$ ، $0/06$ و $0/09$ می‌باشد.

با توجه به نتایج دوره صحبت‌سنجدی مدل‌های منتخب MLP (جدول ۳) می‌توان دریافت که عملکرد مدل در شبیه‌سازی جریان نسبت به مدل‌های منتخب SVM (جدول ۲) به ازای داده ورودی مشاهداتی در هر یک از سه ایستگاه مذکور بهتر بوده است.

تابع PACF هر یک از سه ایستگاه آب‌سنجدی، تاخیر اول جریان مشاهداتی و نرمال شده را موثرترین ورودی در شبیه‌سازی جریان معروفی می‌کند که در شبیه‌سازی‌های انجام شده و همچنین شکل‌های ۶ و ۷ نیز این مورد مشهود است. در حالت کلی مدل‌های شبکه عصبی مصنوعی و ماشین بردار پشتیبانی با یک ورودی غیرنرمال بین $80\text{--}99$ درصد و با یک ورودی نرمال نیز $72\text{--}94$ درصد مقدار خطای مدل منتخب مربوط به ایستگاه آب‌سنجدی خود را پوشش می‌دهند.

با توجه به نتیجه‌گیری‌های فوق استفاده از مدل ANN به جای مدل SVM می‌تواند نتایج بهتری را در شبیه‌سازی جریان رودخانه‌ها به همراه داشته باشد. همچنین استفاده از ورودی‌های نرمال شده به جای ورودی‌های غیر نرمال در مدل‌های شبکه عصبی مصنوعی بسیار موثر بوده و باعث افزایش دقت و کاهش خطای شبیه‌سازی می‌گردد. استفاده از داده‌های نرمال شده همیشه باعث بهبود نتایج بدست آمده از مدل SVM نمی‌گردد، لذا برای دستیابی به بهترین نوع ورودی (جریان نرمال و غیر نرمال) در مدل SVM بایستی از سعی و خطا استفاده گردد.

در تحقیق حاضر سعی گردید عملکرد مدل‌های شبکه عصبی مصنوعی و ماشین بردار پشتیبان در شبیه‌سازی جریان ماهانه حوزه زرینه‌رود در سه ایستگاه صفاخانه، سنته و پل آنیان و همچنین تاثیر نرمال و غیرنرمال بودن جریان‌های ورودی بر عملکرد مدل‌ها مورد بررسی قرار گیرد. در این راستا ابتدا توزیع احتمالاتی داده‌های جریان مشاهداتی هر ایستگاه طبق روابط ۱ تا ۹ به جریان با توزیع نرمال تبدیل گردیده است. در ادامه جهت لحاظ نمودن تاثیر جریان با تاخیرهای ماهانه مختلف و همچنین ساختار بکار رفته در مدل‌ها بر عملکرد آنها در شبیه‌سازی جریان ماهانه، کارایی مدل‌های شبکه عصبی مصنوعی و SVM با تابع‌های کرنل مختلف به ازای تاخیرهای ۱ تا ۱۵ ماهه جریان رودخانه‌ها مورد ارزیابی قرار گرفت و نتایج زیر بدست آمد.

نتایج نشان داد مدل SVM به ازای $13\text{--}3$ جریان ورودی مشاهداتی (غیر نرمال) نتایج بهتری را در شبیه‌سازی جریان دوره صحبت‌سنجدی ایستگاه‌های آب‌سنجدی صفاخانه و پل آنیان با مقادیر شاخص‌های آماری CC و RMSE به $0/79$ و $0/34(\text{m}^3/\text{sec})$ ترتیب برابر با $0/70$ و $0/79$ (sec) ۲۴/۳۱(m^3/sec) داشته است. استفاده از داده‌های نرمال شده جریان نتایج بهتری در ایستگاه سنته با مقادیر شاخص‌های آماری CC و RMSE برابر با $0/86$ و $0/88(\text{m}^3/\text{sec})$ داشته است، در واقع استفاده از داده‌های نرمال شده در مقایسه با حالت غیر نرمال باعث افزایش 14 درصدی CC و کاهش 6

درصدی RMSE در دوره صحبت‌سنجدی گردیده است. در شبیه‌سازی جریان بوسیله شبکه عصبی مصنوعی، مدل‌های MLP(12)، MLP(11)، MLP(3) و MLP(N6) با داده ورودی مشاهداتی (غیرنرمال) به ترتیب جهت شبیه‌سازی جریان در ایستگاه‌های آب‌سنجدی صفاخانه، سنته و پل آنیان انتخاب گردیدند که مقادیر شاخص‌های آماری CC و RMSE این ایستگاه‌ها در دوره صحبت‌سنجدی به ترتیب برابر با $0/82$ و $0/58(\text{m}^3/\text{sec})$ ، $0/80$ و $0/93(\text{m}^3/\text{sec})$ و $0/71$ و $0/58(\text{m}^3/\text{sec})$ می‌باشند. مدل‌های MLP(N6)

منابع

1. Adamowski, J. 2013. Using support vector regression to predict direct runoff, base flow and total flow in a mountainous watershed with limited data in Uttarakhand, India. *Annals of Warsaw University of Life Sciences-SGGW. Land Reclamation*, 45(1): 71-83.
2. Alvisi, S., G. Mascellani, M. Franchini and A. Bardossy. 2006. Water level forecasting through fuzzy logic and artificial neural network approaches. *Hydrology and Earth System Sciences Discussions*, 10(1): 1-17.
3. ASCE Task Committee on Application of Artificial Neural Networks in Hydrology. 2000. Artificial neural networks in hydrology, I: preliminary concepts. *Journal of Hydrologic Engineering*, 5(2): 115-123.
4. Cortes, C. and V. Vapnik. 1995. Support vector networks. *Machine Learning*, 20: 273-297.
5. Coulibaly, P., F. Anctil and B. Bobée. 2000. Daily reservoir inflow forecasting using artificial neural networks with stopped training approach. *Journal of Hydrology*, 230: 244-257.
6. Dibike, Y.B., S. Velikov, D. Solomatine and M.B. Abbott. 2001. Model induction with support vector machines: introduction and applications. *Journal of Computing in Civil Engineering*, 15: 208-216.
7. Guo, B., S.R. Gunn, R.I. Damper and J.D. Nelson. 2008. Customizing kernel functions for svm-based hyper spectral image classification. *IEEE Transactions on Image Processing*, 17(4): 622-629.
8. Huang, W. and B.X. Chan-Hilton. 2004. Forecasting flows in Apalachicola River using neural networks. *Hydrological Processes*, 18(13): 2545-2564.
9. Kakaei Lafadani, E., A. Moghaddam Nia, A. Ahmadi, M. Jajarmizadeh and M. Ghafari. 2013. Stream flow simulation using SVM, ANFIS and NAM models (A case study). *Caspian Journal of Applied Sciences Research*, 2(4): 86-93.
10. Kavzoglu, T. and I. Colkesen. 2009. A kernel functions analysis for support vector machines for land cover classification. *International Journal of Applied Earth Observation and Geoinformation*, 11(5): 352-359.
11. Kouchakzadeh, M. and A. Bahmani. 2006. Assessment of artificial neural networks revenue in reducing required parameters for estimation of reference evapotranspiration. *Journal of Agricultural Sciences*, 11(4): 87-97.
12. Lin, J.Y., C.T. Cheng and K.W. Chau. 2006. Using support vector machines for long-term discharge prediction. *Hydrological Sciences Journal*, 51(4): 599-612.
13. Liu, G.Q. 2011. Comparison of regression and ARIMA models with neural network models to forecast the daily streamflow of White Clay Creek. PhD Thesis, University of Delaware, Newark, USA. 517 pp.
14. Misra, D., T. Oommen, A. Agarwal, S.K. Mishra and A.M. Thompson. 2009. Application and analysis of support vector machine based simulation for runoff and sediment yield. *Biosystems Engineering*, 103(9): 527-535.
15. Nayak, P.C., K.P. Sudheer, D.M. Rangan and K.S. Ramasastri. 2004. A neuro-fuzzy computing technique for modeling hydrological time series. *Journal of Hydrology*, 291(1): 52-66.
16. Nouri, R., A. Khakpour, M. Dehghani and A. Farrokhnia. 2010. Monthly river flow prediction using support vector machine based on principal components analysis. *Journal of Water and Wastewater*, 22(1): 118-129 (In Persian).
17. Safavi, H.R. 2009. Engineering hydrology. 4nd edn, Arkan Danesh publisher, Esfahan, Iran, 706 pp. (In Persian)
18. Samsudin, R., P. Saad and A. Shabri. 2011. River flow time series using least squares support vector machines. *Hydrology and Earth System Sciences*, 15(6): 1835-1852.
19. Yang, K.H., G.L. Shan and L.L. Zhao. 2006. Correlation coefficient method for support vector machine input samples. International Conference on Machine Learning and Cybernetics, 2857-2861 pp., Dalian, China.
20. Yoon, H., S.C. Jun, Y. Hyun, G.O. Bae and K.K. Lee. 2011. A comparative study of artificial neural networks and support vector machines for predicting groundwater levels in a coastal aquifer. *Journal of Hydrology*, 396(1-2): 128-138.
21. Zealand, C.M., D.H. Burn and S.p. Simonovic. 1999. Short term stream flow forecasting using artificial neural networks. *Journal of Hydrology*, 214(1-4): 32-48.

Assessment of Normalization of Monthly Runoff Probabilistic Distribution impact on SVM and ANN Models Performance in Monthly River Flows Simulation (A Case Study: ZarrinehRud River Basin)

Mohammad Isazadeh¹, Hojat Ahmadzadeh² and Mohammad Ali Ghorbani³

1- M.Sc. Student of Water Resources Engineering, University of Tabriz,
(Corresponding author: mohammadisazade@gmail.com)

2 and 3- Ph.D. Student and of Associate Professor, Water Resources Engineering, University of Tabriz
Received: April 21, 2015 Accepted: May 7, 2016

Abstract

Accurate estimation of river flows is one of the fundamental activities in water resources management of river basins. Artificial neural network (ANN) and support vector machine (SVM) are the most important data mining models that can be considered for this purpose. Due to the data-based attribute of these models, probability distribution of data may have a considerable effects on their performance in river flow simulation. In order to, Zarrineh Rud River basin was selected as a study area and the investigations were done for three hydrometric stations located in this basin. In this regard, first monthly runoff probability distribution of stations were studies based on Shapiro-Wilk test and then normalization of data distribution were done. Then the performance of ANN and SVM models in monthly river flow simulation of three stations was evaluated for initial observed and normal data. Based on the results of this study, the values of 0.71, 5.93 (m^3/sec), 0.80, 6.58 (m^3/sec) and 0.82, 22.9 (m^3/sec) were obtained for correlation coefficient (CC) and root mean square errors (RMSE) indicators in the ANN model for Safakhaneh, Santeh and Polanian stations respectively in the testing period. In the SVM model, the values of 0.70, 6.34 (m^3/sec), 0.78, 7.02 (m^3/sec) and 0.79, 24.31 (m^3/sec) were obtained for these indicators in the mentioned stations respectively. The results showed that in river flow simulation by ANN model values of CC increase 6%, 14% and 11% and RMSE values decrease 9%, 19% and 6% for Polanian, Santeh and Safakhaneh stations respectively in the testing period due to normalization of data probability distribution. For SVM model, due to normalization of data probability, CC value increases 10% and RMSE value decrease 16% only for Santeh station. Also the results showed that the ANN model with normal input data has high performance in estimation of monthly river flow compared to the SVM model in each of the three hydrometric stations.

Keywords: ANN, Monthly River Flow, Normal Probabilistic Distribution, SVM, Zarrineh Rud Basin